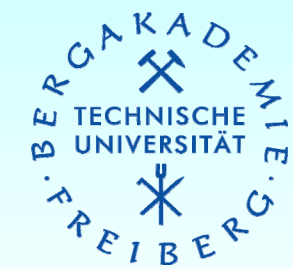




Foto: H. Forberg



# Modellierung von hydrologischen Prozessen im Boden am Beispiel von BDF

Volkmar Dunger

TU Bergakademie  
Freiberg, Institut für  
Geologie



# Modellierung von hydrologischen Prozessen im Boden am Beispiel von BDF

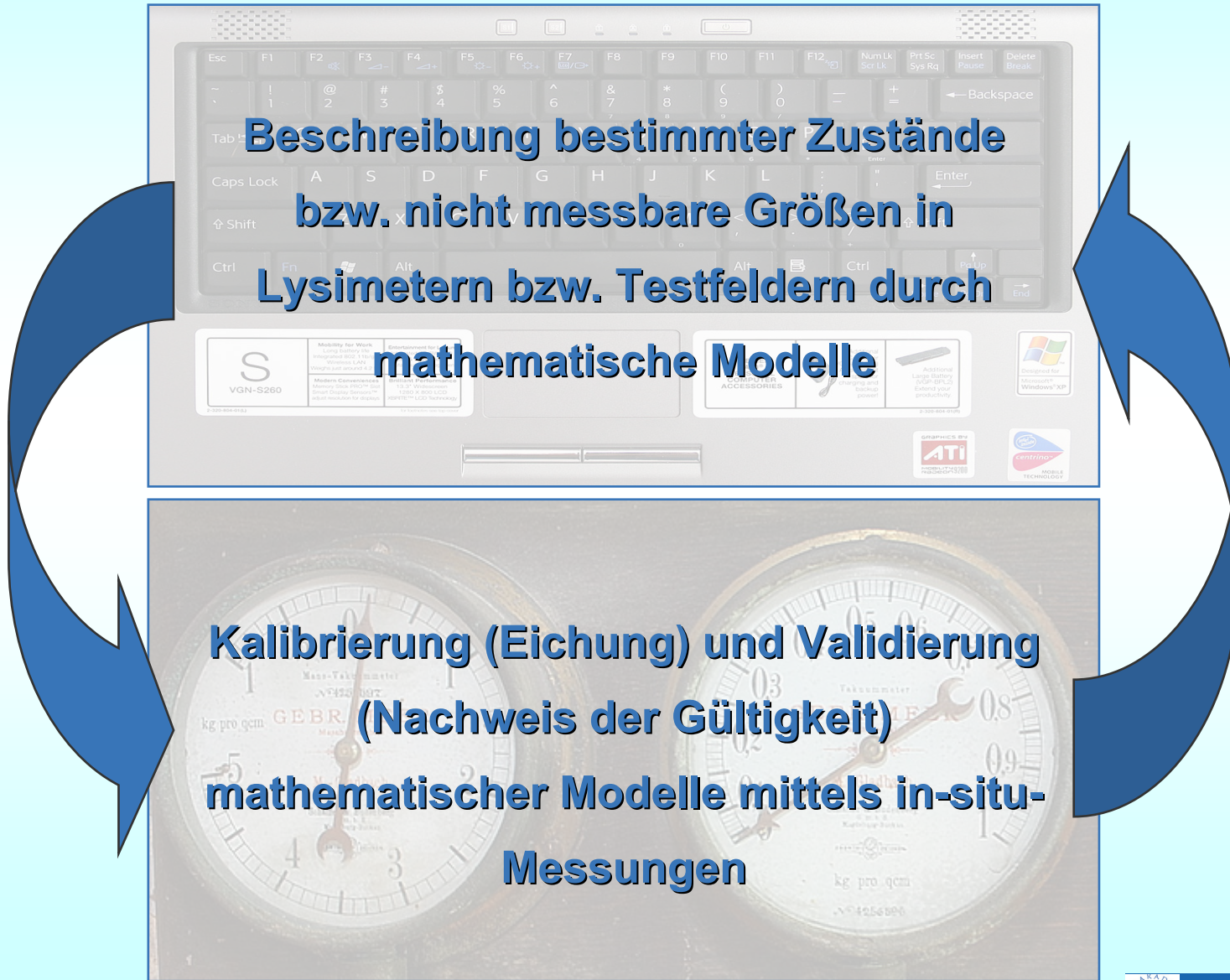
## Problemstellung:



Modellierung  
vs.  
Messung

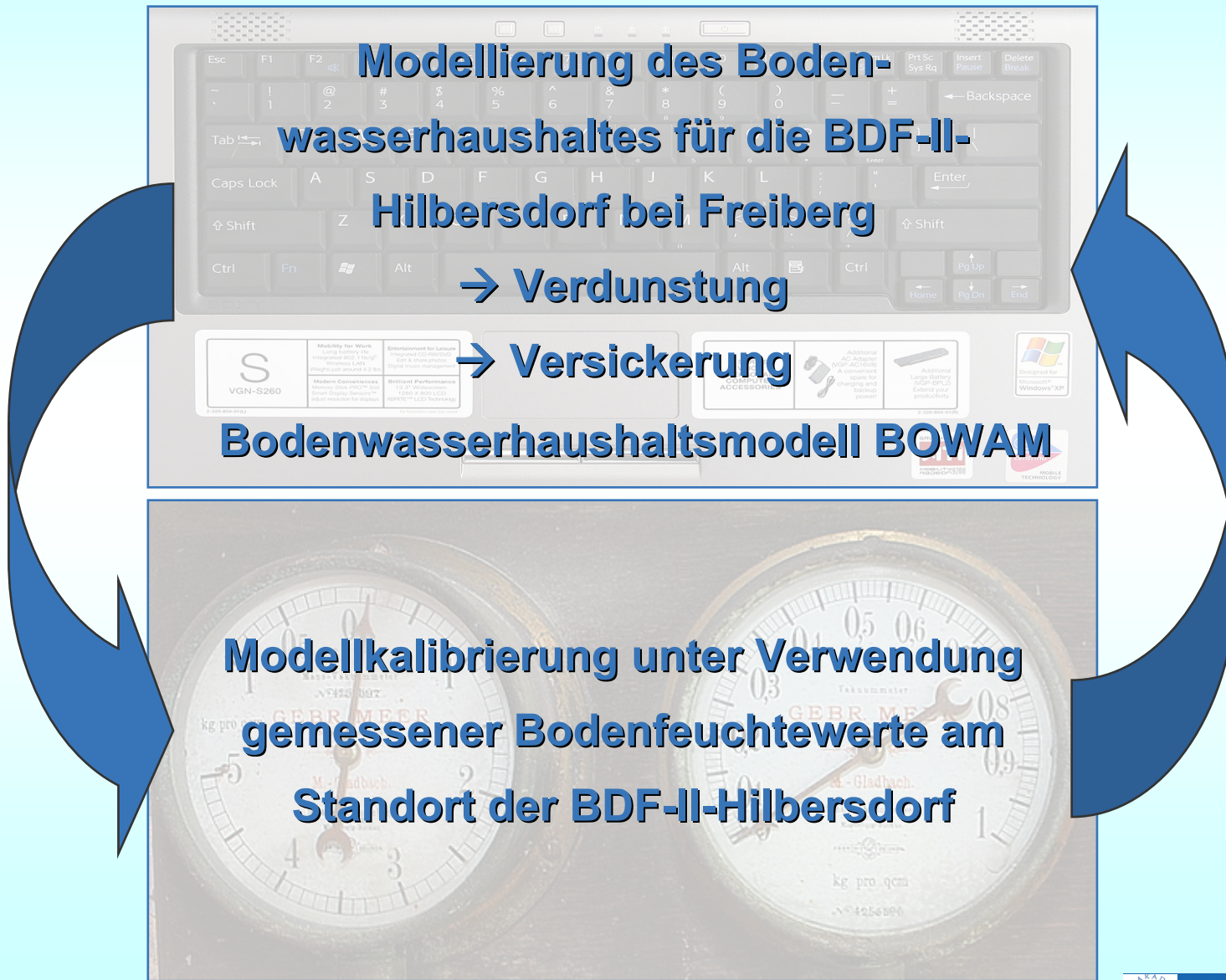
# Modellierung von hydrologischen Prozessen im Boden am Beispiel von BDF

Problemstellung:



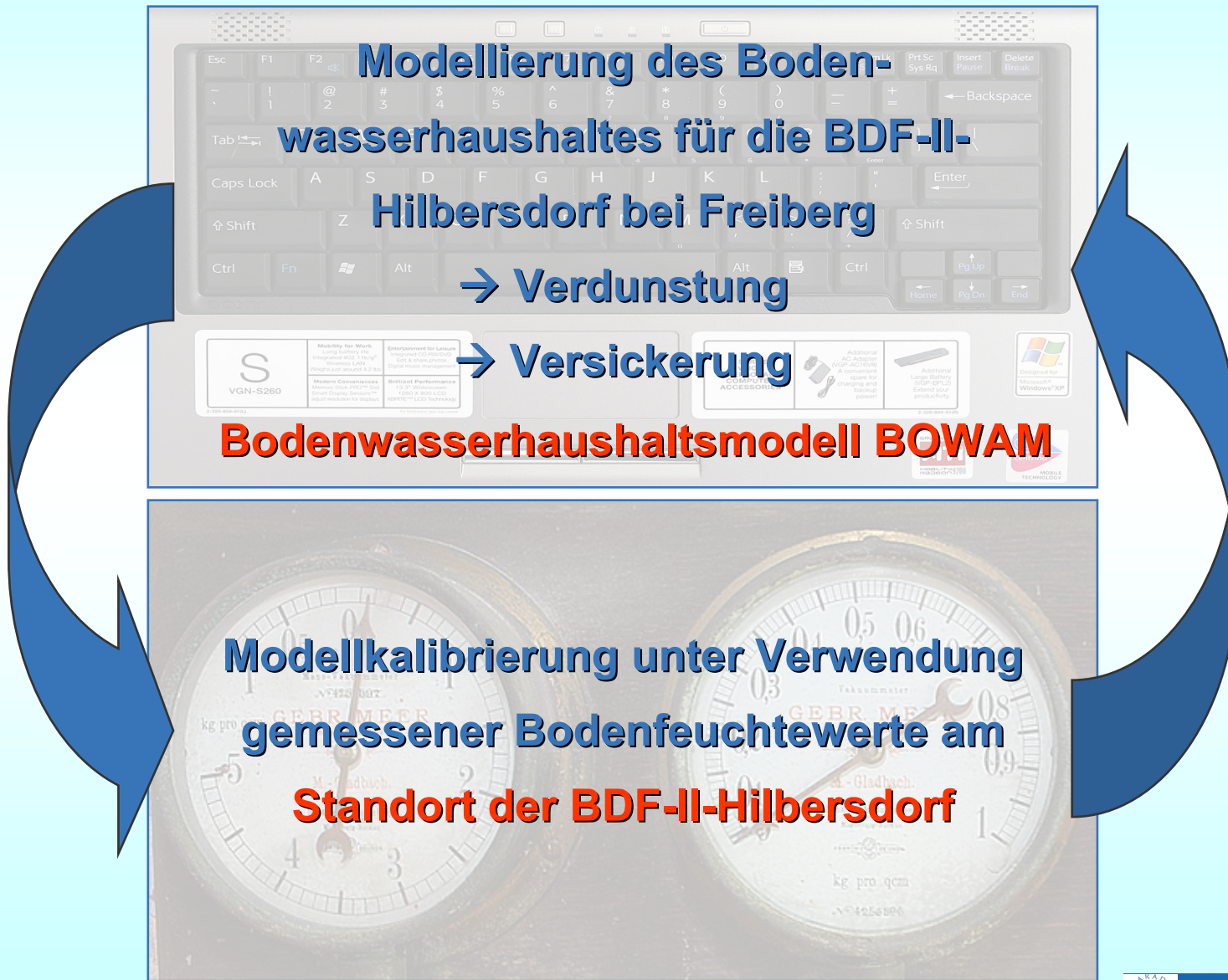
# Modellierung von hydrologischen Prozessen im Boden am Beispiel von BDF

Problemstellung:



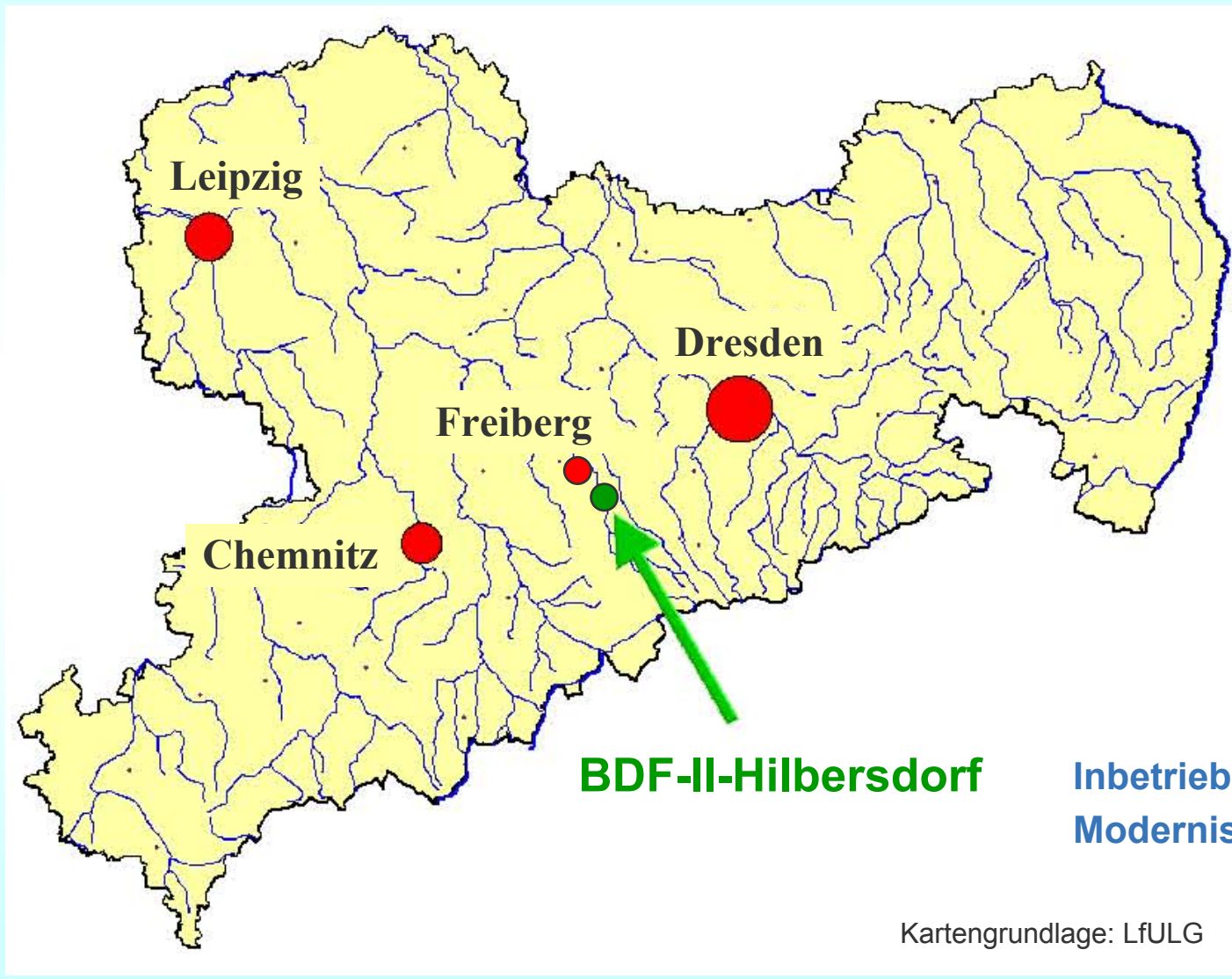
# Modellierung von hydrologischen Prozessen im Boden am Beispiel von BDF

Problemstellung:



# Modellierung von hydrologischen Prozessen im Boden am Beispiel von BDF

## BDF-II-Hilbersdorf – Standortcharakteristik:



## Modellierung von hydrologischen Prozessen im Boden am Beispiel von BDF

### BDF-II-Hilbersdorf – Standortcharakteristik:

#### Allgemeine Charakteristik:

Naturraum: Osterzgebirge  
Höhenlage: 425 m NN

#### Klima:

Jahresmitteltemperatur: 8 °C  
mittlerer Jahresniederschlag: 628 mm

#### Nutzung, Bewuchs:

bis 2004: Grasbewuchs unabhängig von Bewirtschaftung im Umfeld  
ab 2005: landwirtschaftliche Nutzung analog Bewirtschaftung im Umfeld



Bild: H. Forberg, LfULG

# Modellierung von hydrologischen Prozessen im Boden am Beispiel von BDF

## BDF-II-Hilbersdorf – Standortcharakteristik:

### Allgemeine Charakteristik:

Naturraum: Osterzgebirge  
Höhenlage: 425 m NN

### Klima:

Jahresmitteltemperatur: 8 °C  
mittlerer Jahresniederschlag: 628 mm

### Nutzung, Bewuchs:

bis 2004: Grasbewuchs unabhängig von Bewirtschaftung im Umfeld  
ab 2005: landwirtschaftliche Nutzung analog Bewirtschaftung im Umfeld

2005:  
Kleegras

2006:  
Wintergerste

2007:  
Raps

2008:  
Wintergerste

2009:  
Raps



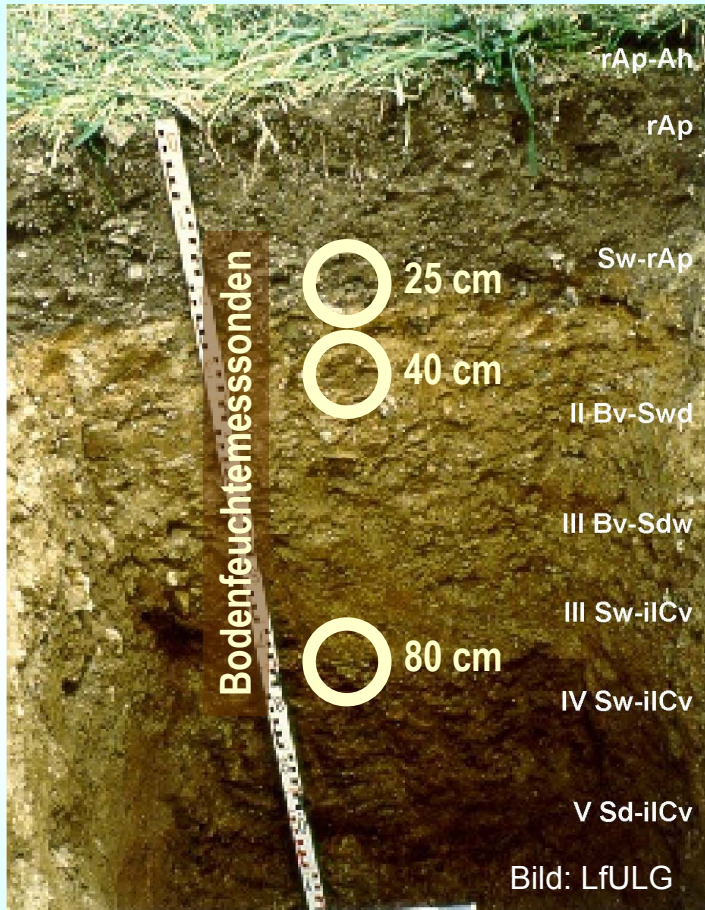
### Leitbodengesellschaft nach BÜK 400:

Braunerde aus Hanglehm über basearmen bis mäßig basereichem  
metamorphem oder magmatischem Festgestein

Bild: H. Forberg, LfULG

# Modellierung von hydrologischen Prozessen im Boden am Beispiel von BDF

## BDF-II-Hilbersdorf – Standortcharakteristik:



Untergrund	Oberboden		Humusgehalt
	sandig-lehmiger Schluff		
	schluffig-lehmiger Sand	aus periglazialem Lösslehm / Gneis	
	schwach sandiger Lehm		
	stark lehmiger Sand	aus periglazialer Deckschicht aus Gneis	
	mittel lehmiger Sand		
	schwach lehmiger Sand	aus anstehendem verwittertem Gneis	

## Leitbodengesellschaft nach BÜK 400:

Braunerde aus Hanglehm über basearmen bis mäßig basereichem metamorphem oder magmatischem Festgestein

# Modellierung von hydrologischen Prozessen im Boden am Beispiel von BDF

## BDF-II-Hilbersdorf – Standortcharakteristik:

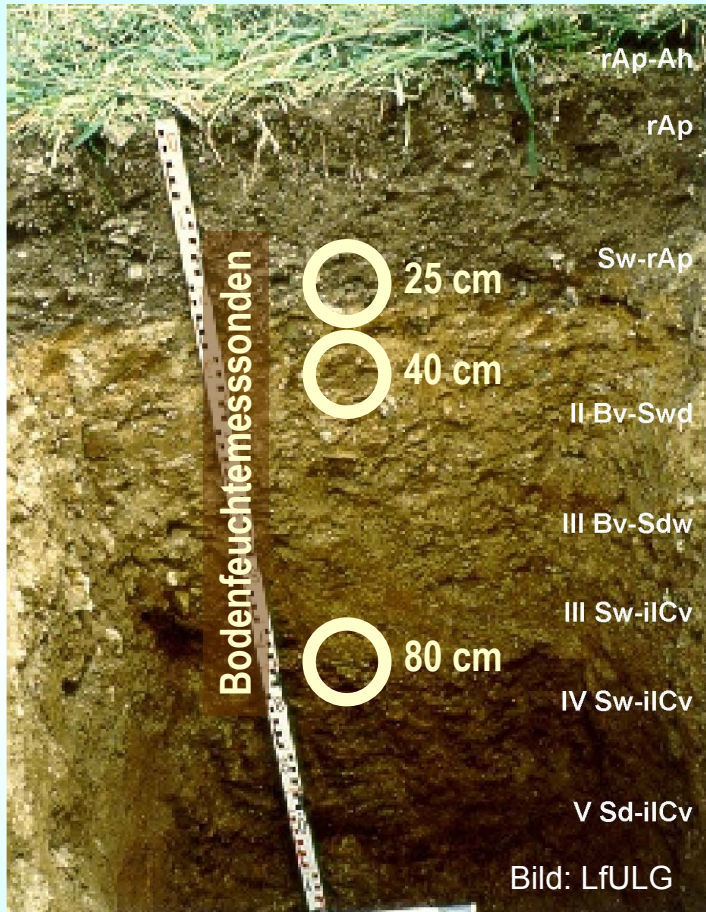


Bild: LfULG



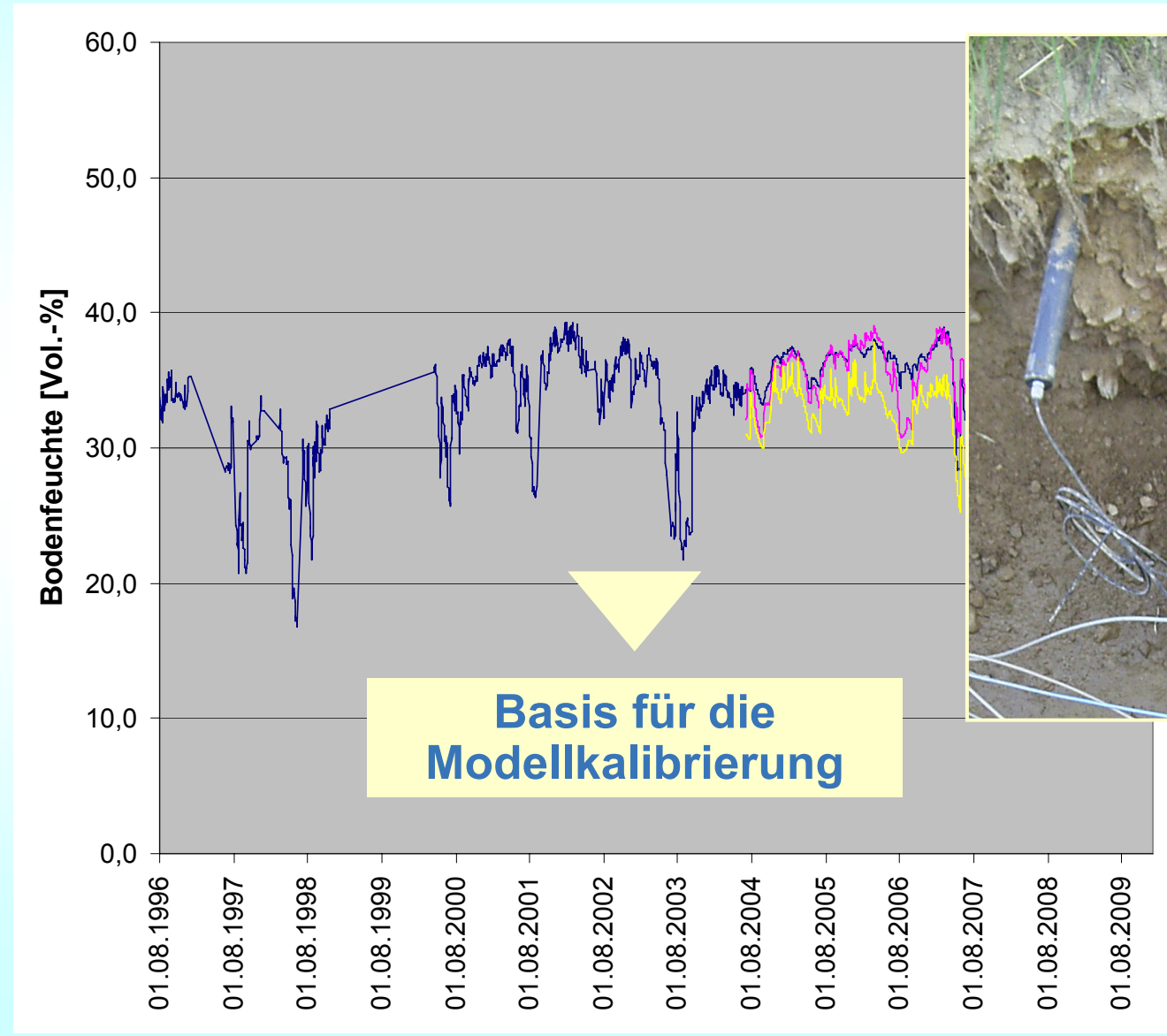
Bild: H. Forberg, LfULG

## Leitbodengesellschaft nach BÜK 400:

Braunerde aus Hanglehm über basearmen bis mäßig basereichem metamorphem oder magmatischem Festgestein

# Modellierung von hydrologischen Prozessen im Boden am Beispiel von BDF

## BDF-II-Hilbersdorf – Standortcharakteristik:



# Modellierung von hydrologischen Prozessen im Boden am Beispiel von BDF

## Bodenwasserhaushaltsmodellierung – Modellkonzepte

### Breite Palette von Verfahren

#### Einfache empirische Verfahren

z.B. nach Renger, Wessolek (1990), nach TUB-BGR-Verfahren bzw. BAGLUVA-Verfahren

#### Konzeptionelle Boxmodelle

Wasserhaushalts- und N-A-Modelle wie z.B. CoupModel, WaSim-ETH, ArcEGMO, NASIM, BOWAM, ...

#### Komplexe numerische Modelle

z.B. HYDRUS-2D, SUMMIT, SiWaPro DSS, ...

Abschätzung jährlicher Werte der Verdunstung und Versickerung von Böden mit unterschiedlicher Nutzung

Quantifizierung der wesentlichen Wasserhaushaltsgrößen (u.a. Verdunstung, Oberflächen- und laterale Abflüsse, Sickerwasserbildung)

Schwerpunkt: prozessadäquate Modellierung des Wassertransports unter teilgesättigten Bedingungen

# Modellierung von hydrologischen Prozessen im Boden am Beispiel von BDF

## Bodenwasserhaushaltsmodellierung – Modellkonzepte

### Breite Palette von Verfahren

#### Einfache empirische Verfahren

z.B. nach Renger, Wessolek (1990), nach TUB-BGR-Verfahren bzw. BAGLUVA-Verfahren

#### Konzeptionelle Boxmodelle

Wasserhaushalts- und N-A-Modelle wie z.B. CoupModel, WaSim-ETH, ArcEGMO, NASIM, BOWAM, ...

#### Komplexe numerische Modelle

z.B. HYDRUS-2D, SUMMIT, SiWaPro DSS, ...

Abschätzung jährlicher Werte der Verdunstung und Versickerung von Böden mit unterschiedlicher Nutzung

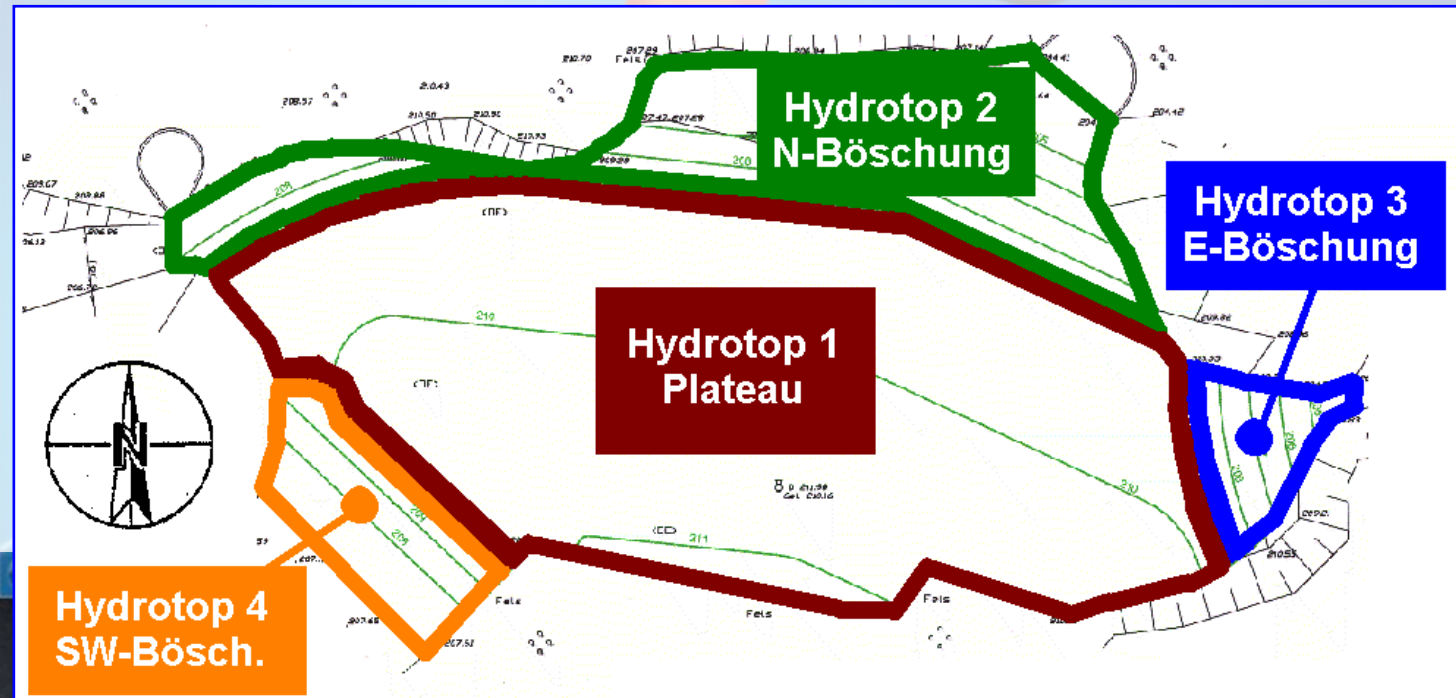
Quantifizierung der wesentlichen Wasserhaushaltsgrößen (u.a. Verdunstung, Oberflächen- und laterale Abflüsse, Sickerwasserbildung)

Schwerpunkt: prozessadäquate Modellierung des Wassertransports unter teilgesättigten Bedingungen

# Modellierung von hydrologischen Prozessen im Boden am Beispiel von BDF

## Bodenwasserhaushaltsmodellierung mittels BOWAM – Modellinhalt

- **Modelltyp:** konzeptionelle Boxmodelle
- **Horizontaldiskretisierung:** Unterteilung in Hydrotope



# Modellierung von hydrologischen Prozessen im Boden am Beispiel von BDF

## Bodenwasserhaushaltsmodellierung mittels BOWAM – Modellinhalt

- **Modelltyp:** konzeptionelle Boxmodelle
- **Horizontaldiskretisierung:** Unterteilung in Hydotope
- **Vertikaldiskretisierung:**
  - maximal 10 Schichten mit variablen Parametern
  - weitere Unterteilung in max. 200 Teilschichten

<i>Oberfläche</i>					
Schicht 1	kf 1	WP 1	FK 1	SAT 1	
Schicht 2	kf 2	WP 2	FK 2	SAT 2	
Schicht 3	kf 3	WP 3	FK 3	SAT 3	
...	...	...	...	...	
Schicht 10	kf 10	WP 10	FK 10	SAT 10	

*Modellbasis*

kf - Filtrationskoeffizient

WP - Welkepunkt

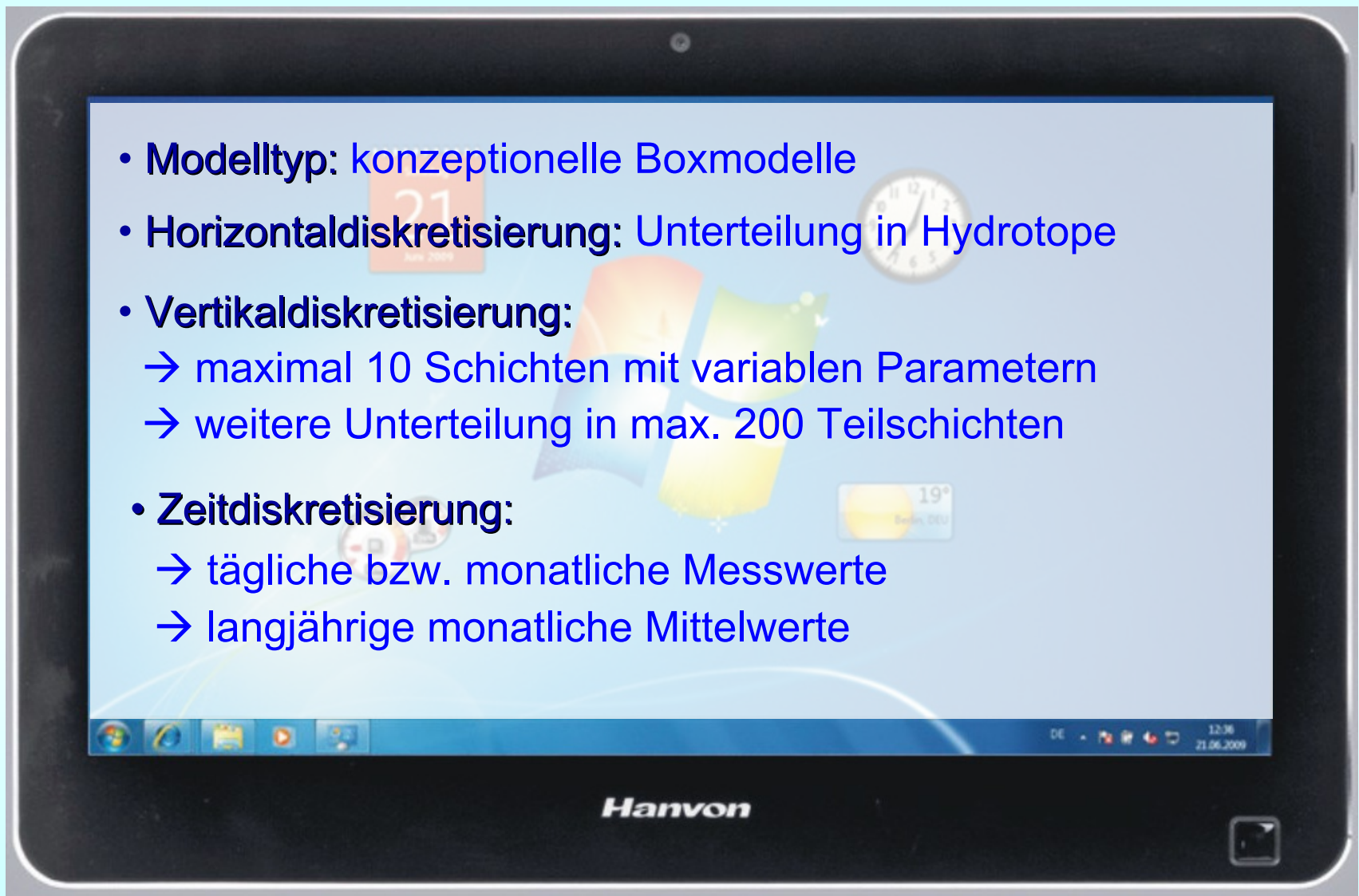
FK - Feldkapazität

SAT - Wassersättigung

# Modellierung von hydrologischen Prozessen im Boden am Beispiel von BDF

## Bodenwasserhaushaltsmodellierung mittels BOWAM – Modellinhalt

- **Modelltyp:** konzeptionelle Boxmodelle
- **Horizontaldiskretisierung:** Unterteilung in Hydotope
- **Vertikaldiskretisierung:**
  - maximal 10 Schichten mit variablen Parametern
  - weitere Unterteilung in max. 200 Teilschichten
- **Zeitdiskretisierung:**
  - tägliche bzw. monatliche Messwerte
  - langjährige monatliche Mittelwerte



# Modellierung von hydrologischen Prozessen im Boden am Beispiel von BDF

## Bodenwasserhaushaltsmodellierung mittels BOWAM – Modellinhalt

Teilprozess	Modellansatz in BOWAM
Niederschlag	Niederschlagskorrektur, Niederschlagssynthese
Interzeption	Interzeptions-Speichermodell für verschiedene Bewuchsarten → unbewachsen, Grasbewuchs, Wald, landwirtschaftliche Kulturen
Schneeschmelze	Tagesgradverfahren (incl. SchmelzwasserRetention in der Schneedecke)
Muldenspeicher	Speichermodell → f(Bewuchs, Niederschlagsintensität, Hangneigung)
Infiltration/Oberflächenabfluss	Curve-Number-Verfahren des US Soil Conservation Service
Versickerung	DARCY-Gesetz für gesättigte Bedingungen (alle Schichten)
Hypodermischer Abfluss	Anwendung des DARCY-Gesetzes für geschichtete Verhältnisse für den Fall einer vertikalen Verschlechterung der Versickerungsbedingungen
Verdunstung	<p><u>potenzielle Verdunstung:</u>            Formeln nach PENMAN, TURC, HAUDE bzw. IVANOV</p> <p><u>reale Verdunstung:</u>            Reduktionsfunktionen nach KOITZSCH → f(Bodenfeuchte, Wurzelgeometrie, Vegetationsbedeckungsgrad)</p>

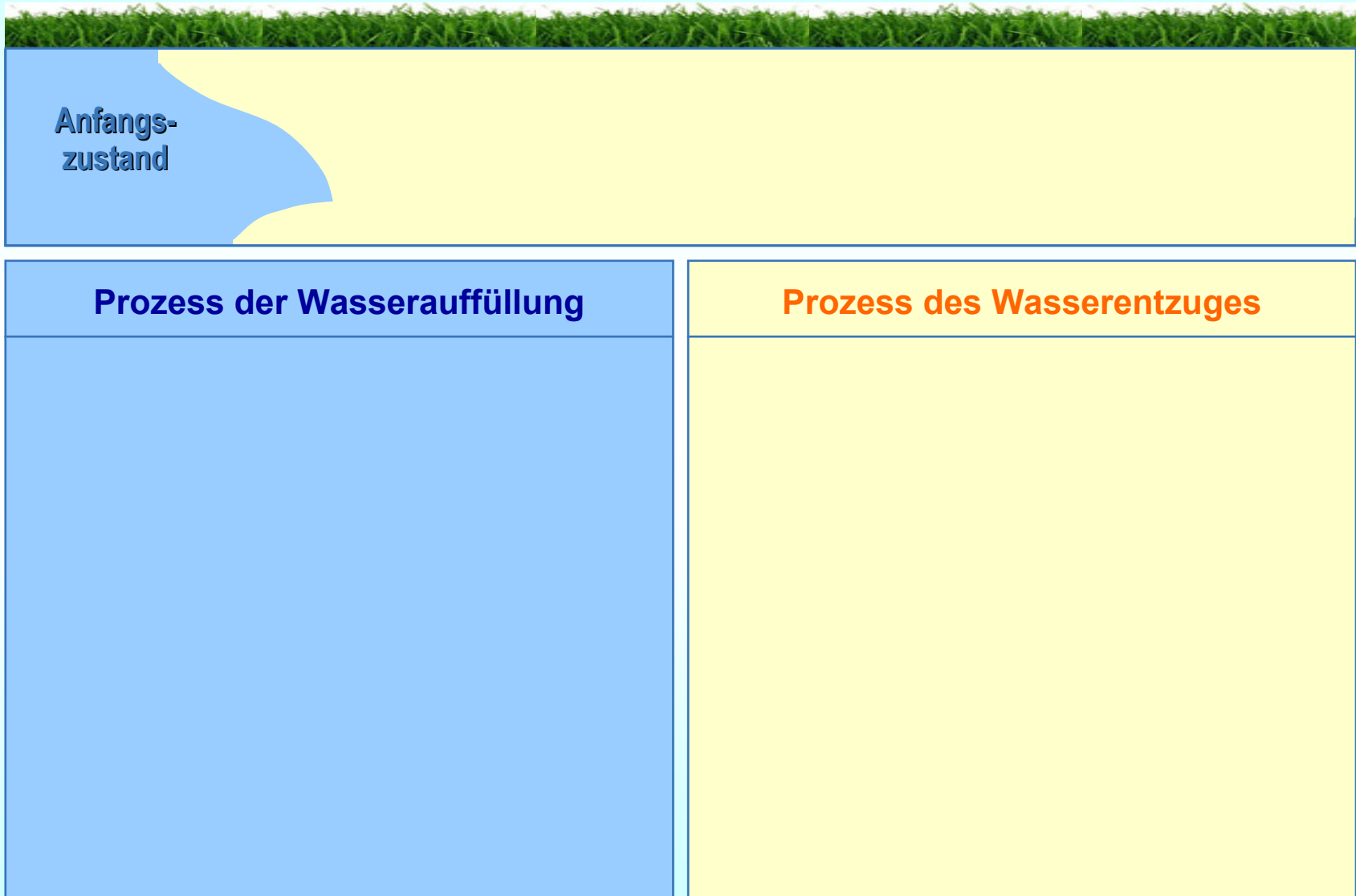
# Modellierung von hydrologischen Prozessen im Boden am Beispiel von BDF

## Bodenwasserhaushaltsmodellierung mittels BOWAM – Modellinhalt



# Modellierung von hydrologischen Prozessen im Boden am Beispiel von BDF

## Bodenwasserhaushaltsmodellierung mittels BOWAM – Modellinhalt



# Modellierung von hydrologischen Prozessen im Boden am Beispiel von BDF

## Bodenwasserhaushaltsmodellierung mittels BOWAM – Modellinhalt



### Prozess der Wasserauffüllung

Natur

Modell

### Prozess des Wasserentzuges

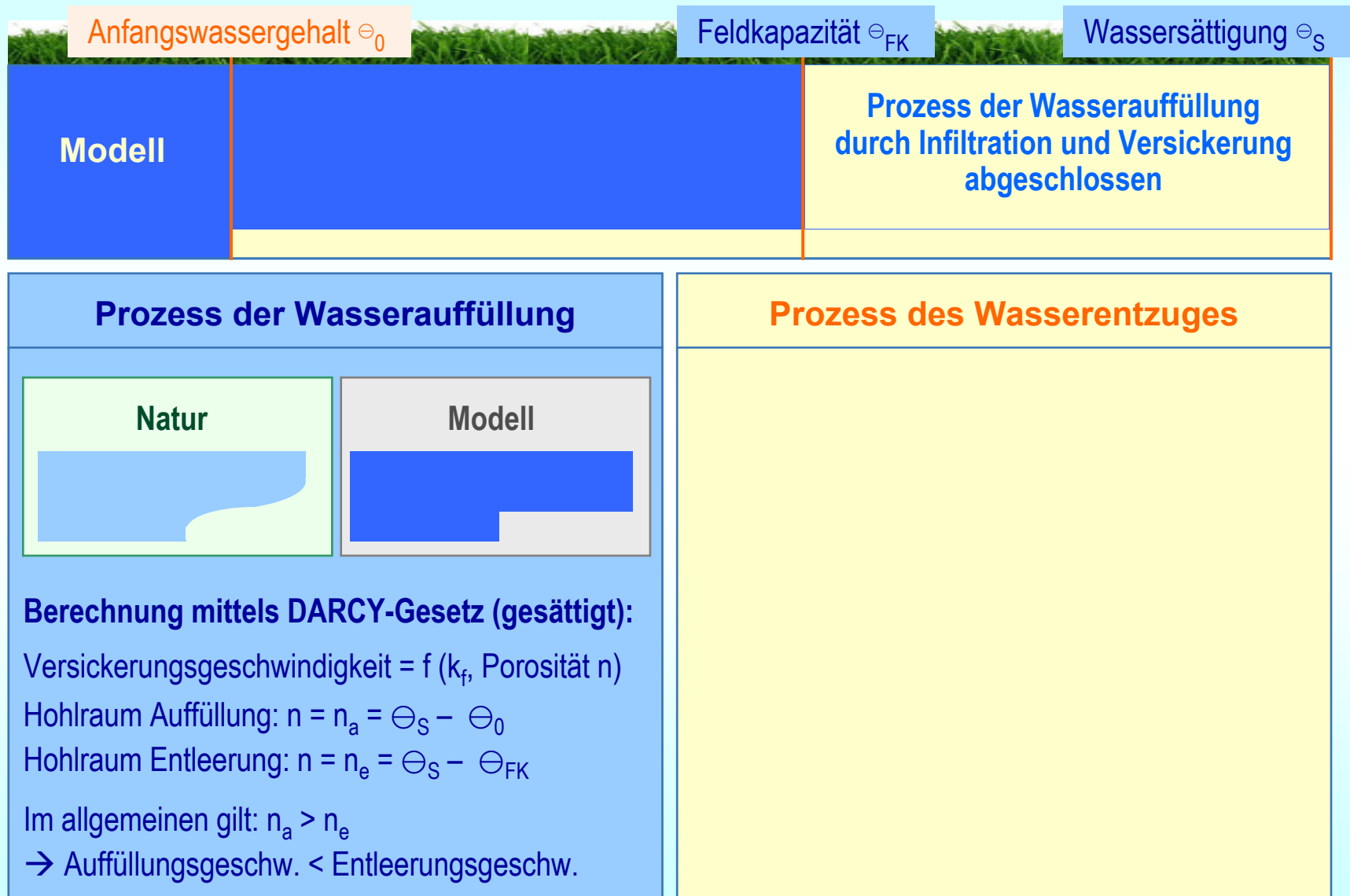
Berechnung mittels Darcy-Gesetz (gesättigt):

Versickerungsgeschwindigkeit = f ( $k_f$ , Porosität n)

Hohlraum Auffüllung:  $n = n_a = \Theta_s - \Theta_0$

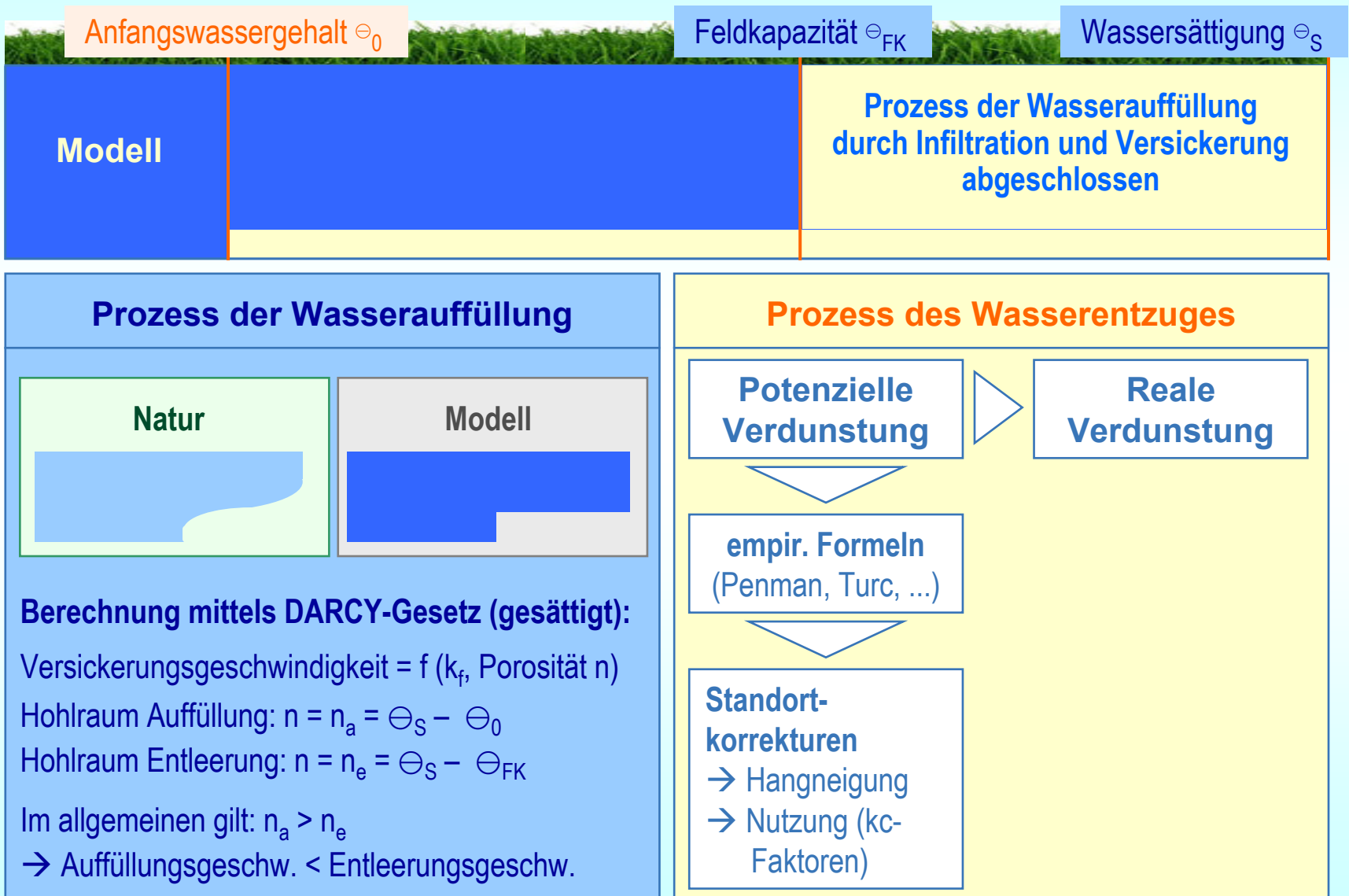
# Modellierung von hydrologischen Prozessen im Boden am Beispiel von BDF

## Bodenwasserhaushaltsmodellierung mittels BOWAM – Modellinhalt



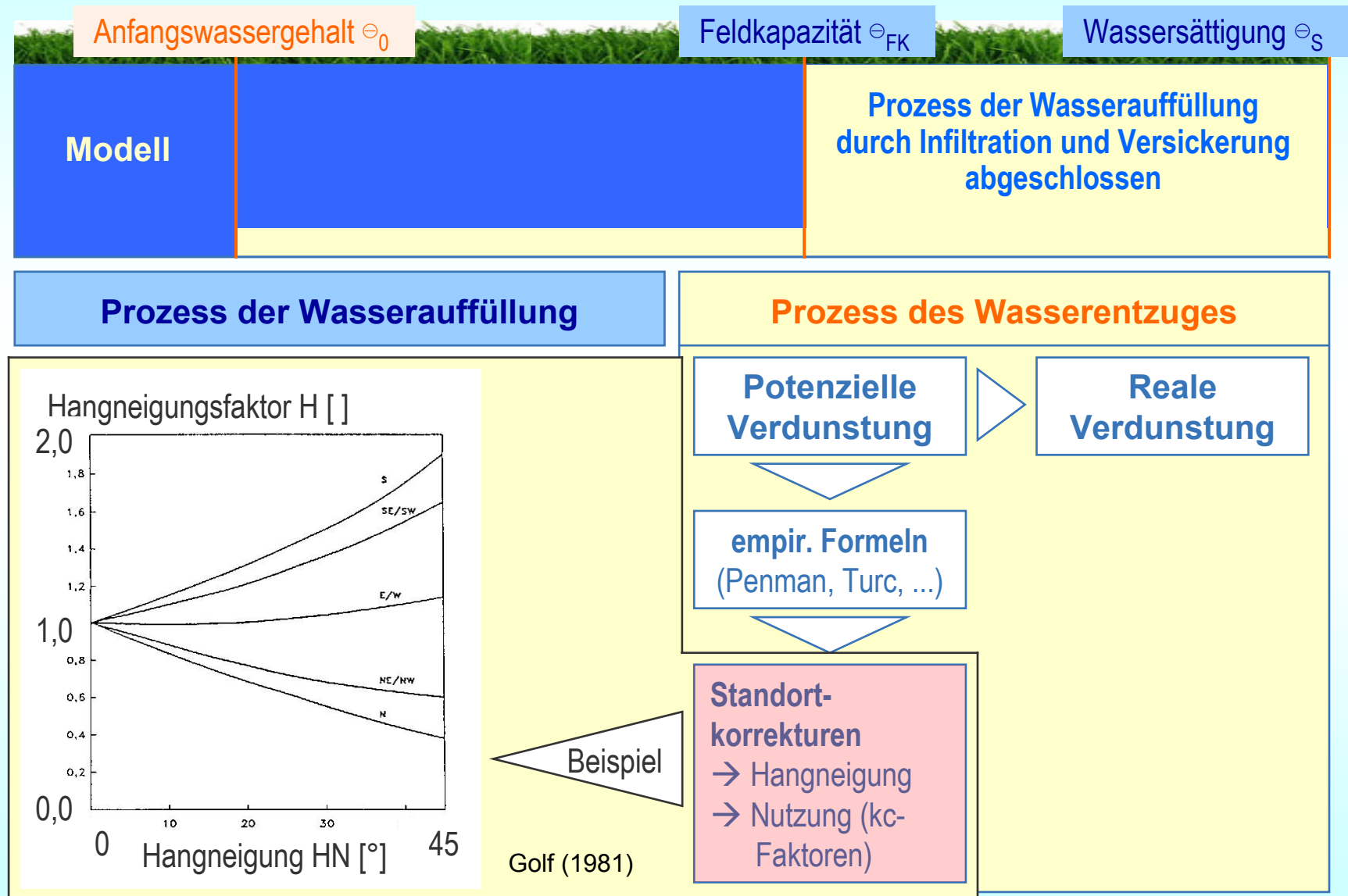
# Modellierung von hydrologischen Prozessen im Boden am Beispiel von BDF

## Bodenwasserhaushaltsmodellierung mittels BOWAM – Modellinhalt



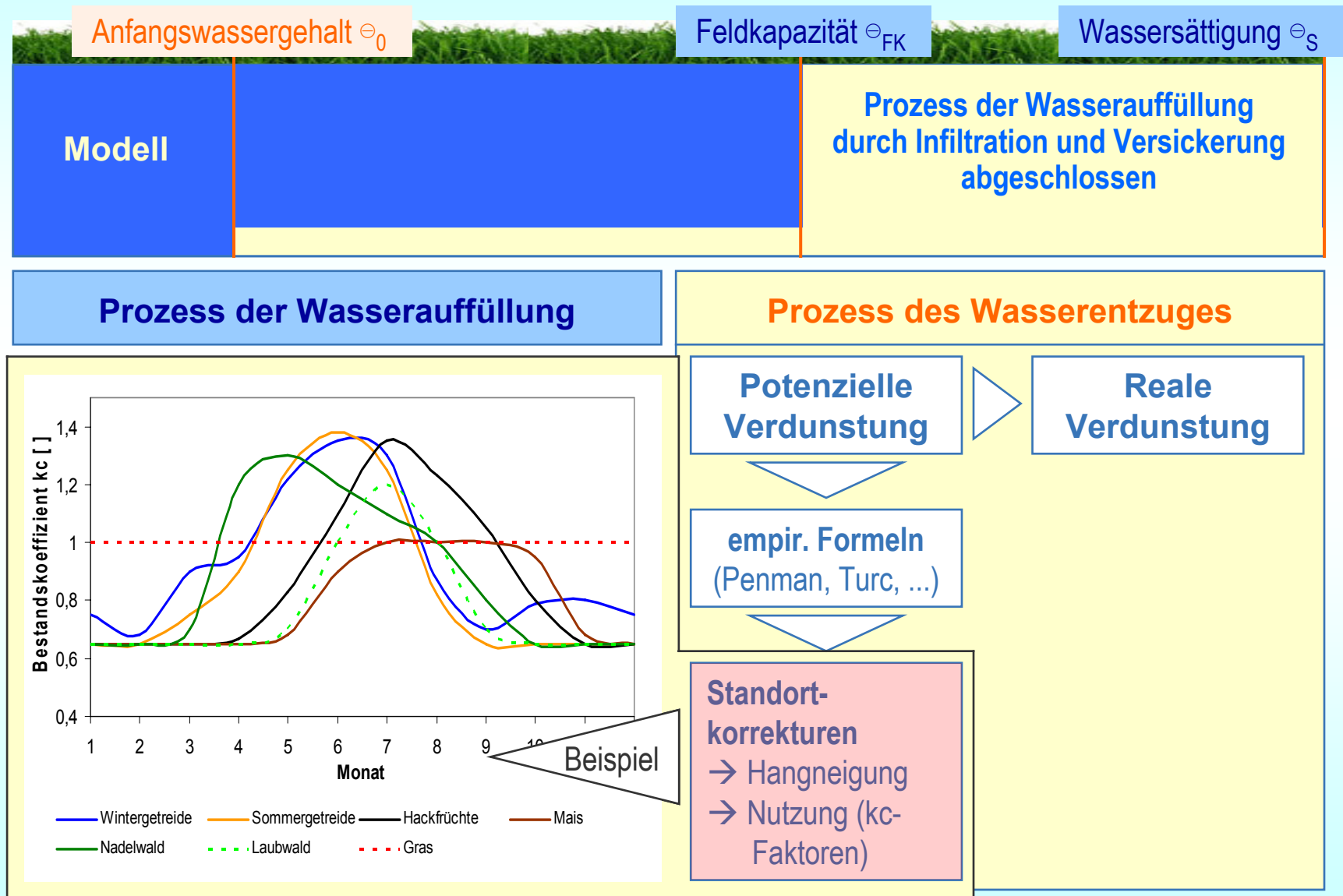
# Modellierung von hydrologischen Prozessen im Boden am Beispiel von BDF

## Bodenwasserhaushaltsmodellierung mittels BOWAM – Modellinhalt



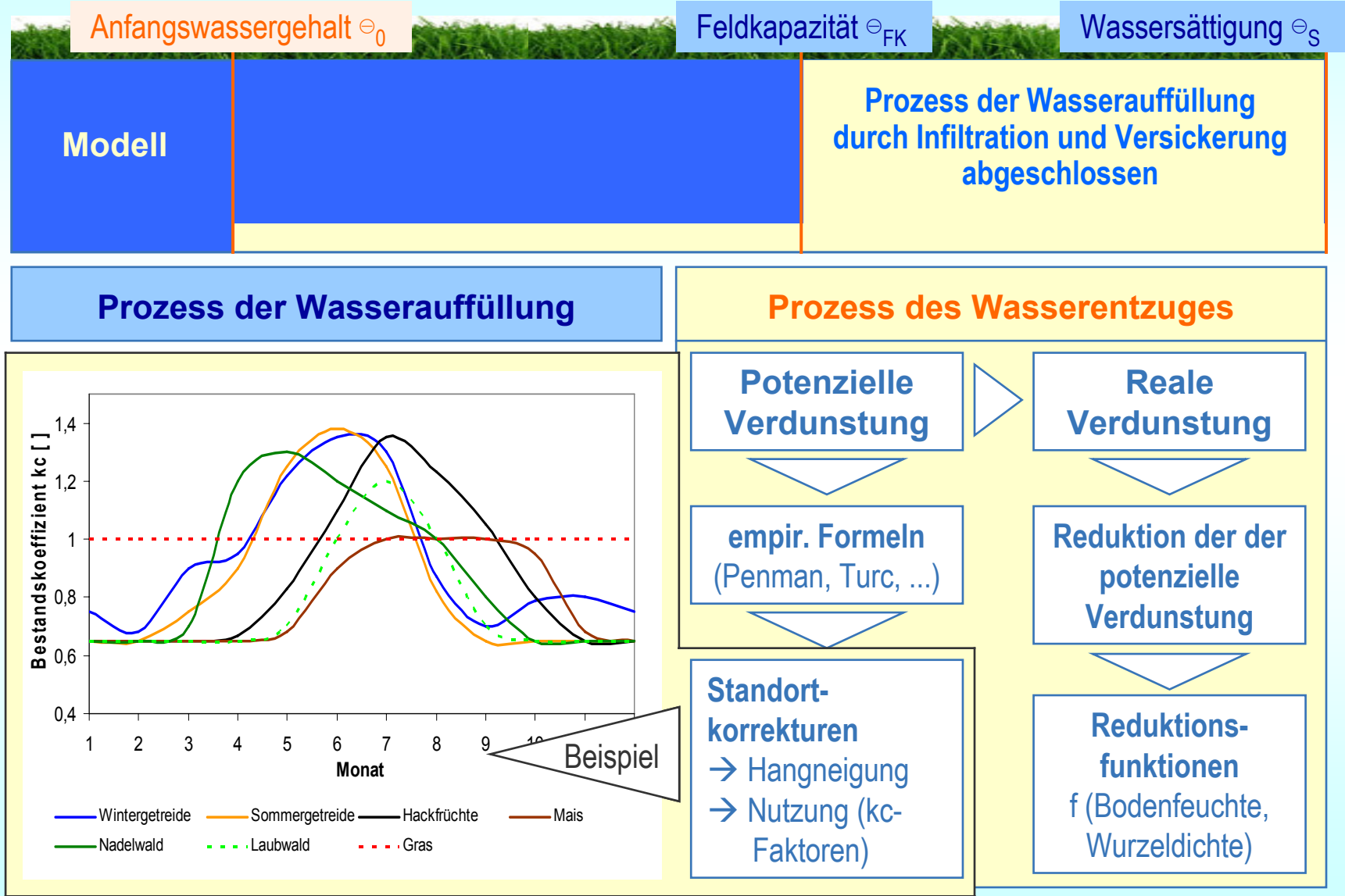
# Modellierung von hydrologischen Prozessen im Boden am Beispiel von BDF

## Bodenwasserhaushaltsmodellierung mittels BOWAM – Modellinhalt



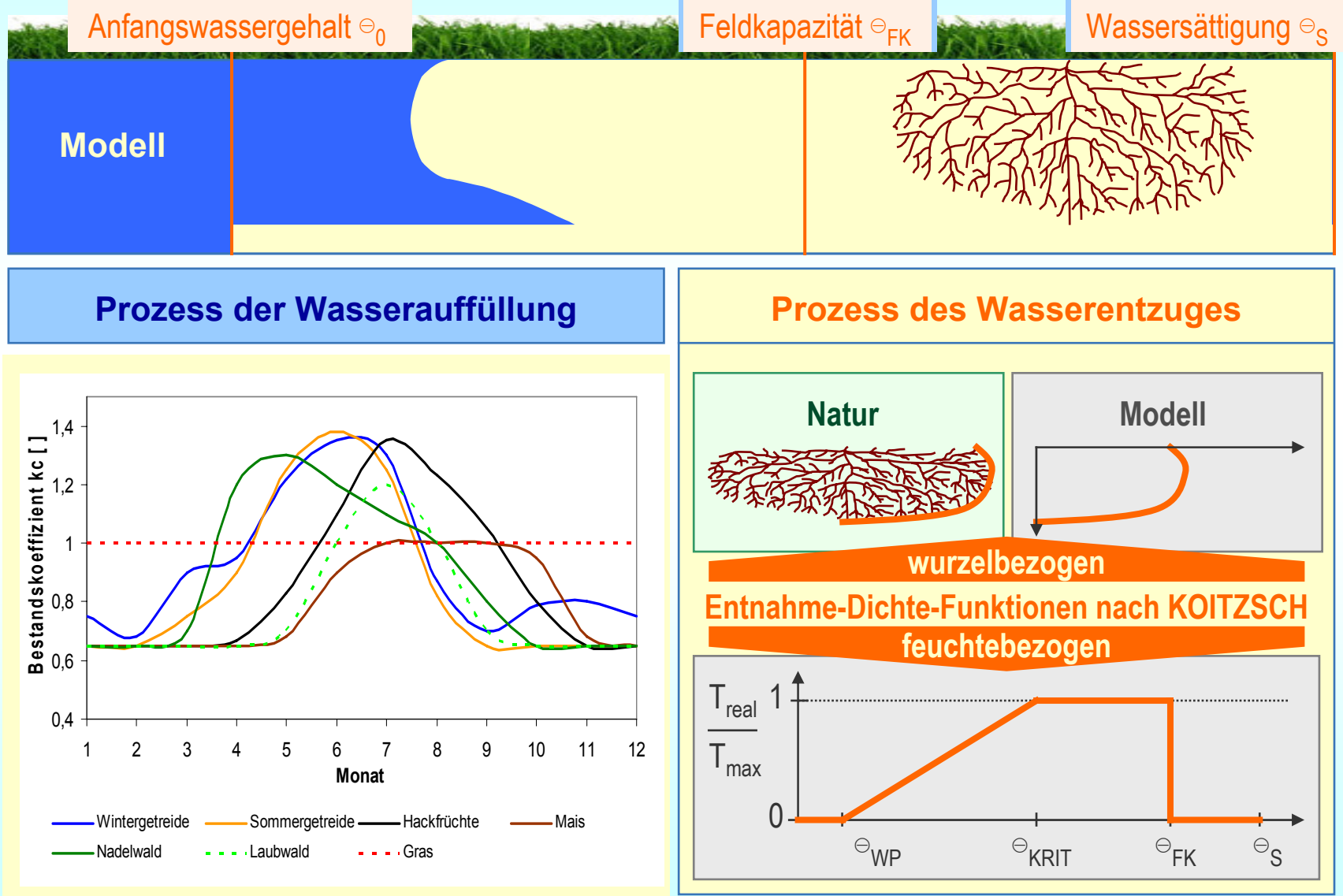
# Modellierung von hydrologischen Prozessen im Boden am Beispiel von BDF

## Bodenwasserhaushaltsmodellierung mittels BOWAM – Modellinhalt



# Modellierung von hydrologischen Prozessen im Boden am Beispiel von BDF

## Bodenwasserhaushaltsmodellierung mittels BOWAM – Modellinhalt



# Modellierung von hydrologischen Prozessen im Boden am Beispiel von BDF

## Bodenwasserhaushaltsmodellierung mittels BOWAM – Modellinhalt



Modell

Prozess der Wasserauffüllung



Ackergaul im Gesamtsystem

Prozess des Wasserentzuges

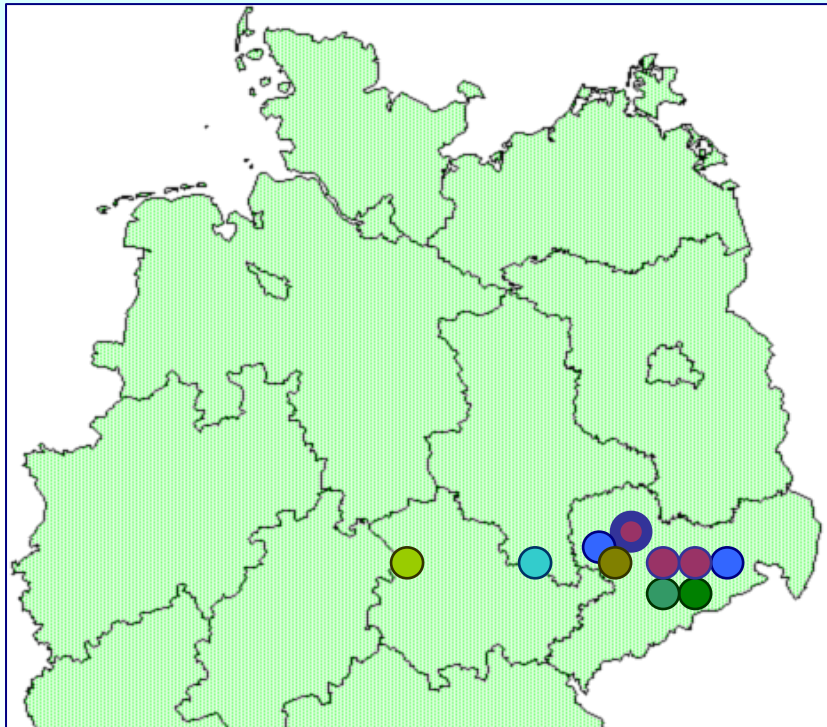


Rennpferd im Gesamtsystem

Wertung der Versickerungs- und Verdunstungsteilmodelle

# Modellierung von hydrologischen Prozessen im Boden am Beispiel von BDF

## Bodenwasserhaushaltsmodellierung mittels BOWAM – Modellkalibrierungen



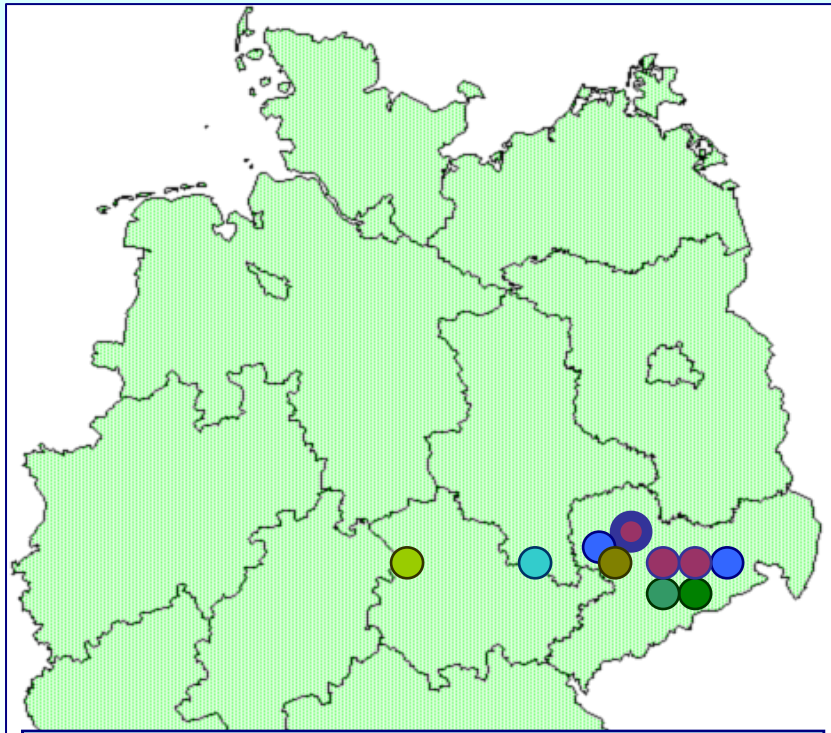
### Beteiligte Institutionen:

TU Freiberg, TU Dresden, LfULG Freiberg, UBG Brandis, StUFA Leipzig, Wismut GmbH Chemnitz, HGC GmbH Freiberg, C&E GmbH Chemnitz, Fresenius GmbH Frohburg, KUTEC GmbH Sondershausen, Aquila GmbH Markkleeberg, KELL GmbH Markranstädt, BEAK GmbH Freiberg

Kalibrierungsgröße	Zeitraum
Bodenfeuchte → Standorte Wildacker und Deponie Deutzen	1985 - 1989 2003
Abfluss- und Isotopenmessungen → Gänsebach (Erzgebirge)	1997
Tritiumverteilung im Boden → Finne	1994 - 1997
Haldenwasserhaushaltsgrößen → Wismuthalden (Aue-Schlema)	1995 - 1999
Saugspannungs- /Bodenfeuchtemessungen → LfULG BDF Colditz, Hilbersdorf, Brandis	ab 1999
Sickerwasserstände → Deponie Frohbug	2000
Sickerwassermessungen → Kali-Testfelder Bleicherode	2002
Bodenwasserhaushaltsgrößen → Lysimeterstation Brandis	ab 2002

# Modellierung von hydrologischen Prozessen im Boden am Beispiel von BDF

## Bodenwasserhaushaltsmodellierung mittels BOWAM – Modellkalibrierungen



### Beteiligte Institutionen:

TU Freiberg, TU Dresden, LfULG Freiberg, UBG Brandis, StUFA Leipzig, Wismut GmbH Chemnitz, HGC GmbH Freiberg, C&E GmbH Chemnitz, Fresenius GmbH Frohburg, KUTEC GmbH Sondershausen, Aquila GmbH Markkleeberg, KELL GmbH Markranstädt, BEAK GmbH Freiberg

Kalibrierungsgröße	Zeitraum
Bodenfeuchte → Standorte Wildacker und Deponie Deutzen	1985 - 1989 2003
Abfluss- und Isotopenmessungen → Gänsebach (Erzgebirge)	1997
Tritiumverteilung im Boden → Finne	1994 - 1997
Haldenwasserhaushaltsgrößen → Wismuthalden (Aue-Schlema)	1995 - 1999
Saugspannungs- /Bodenfeuchtemessungen → LfULG BDF Colditz, Hilbersdorf, Brandis	ab 1999
Sickerwasserstände → Deponie Frohbug	2000
Sickerwassermessungen → Kali-Testfelder Bleicherode	2002
Bodenwasserhaushaltsgrößen → Lysimeterstation Brandis	ab 2002

# Modellierung von hydrologischen Prozessen im Boden am Beispiel von BDF

## Bodenwasserhaushaltsmodellierung mittels BOWAM – Eingabeinformationen

**Meteorologische Daten** (Diskretisierung: Tages-, Monatswerte, langjährige Monatsmittel):  
 Lufttemperatur, Luftfeuchtigkeit, Globalstrahlung \*) bzw. Sonnenscheindauer \*),  
 Windgeschwindigkeit \*), Niederschlagsmenge, ggf. Niederschlagsverteilung \*)

### Geographische und morphologische Parameter:

- Exposition
- Hangneigung
- Hanglänge

### Pedologische Parameter:

- gesättigte hydraulische Leitfähigkeit ( $k_f$ -Wert) \*\*)
- Sättigungswassergehalt \*\*), Bereich der Feldkapazität \*\*), permanenter Welkepunkt \*\*)
- kapillare Aufstiegshöhe \*\*)
- Schichtenabfolge (vertikaler Aufbau)

### Nutzungs- und Bewuchsparameter:

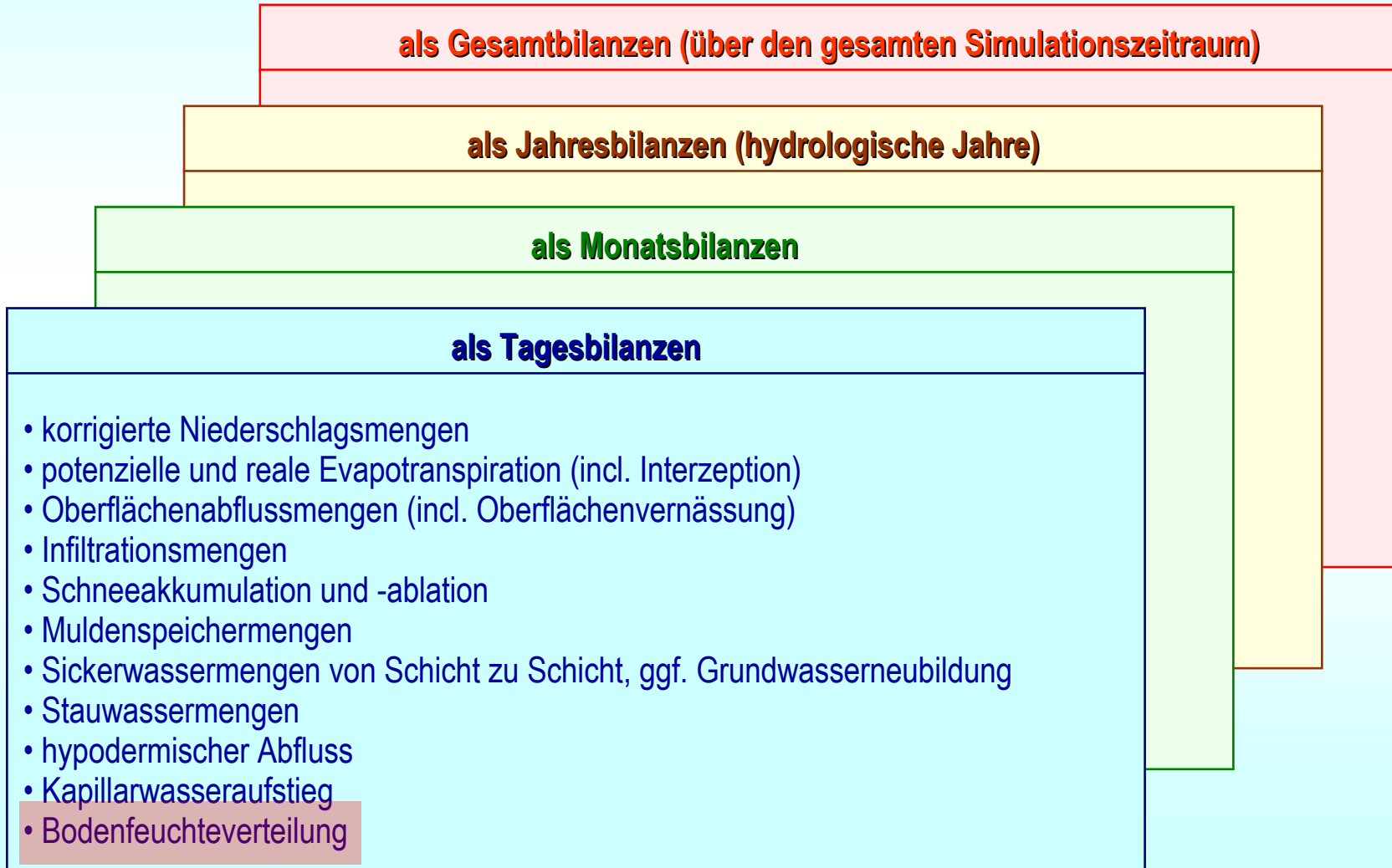
- Nutzung: Landwirtschaft, Grünland, Wald, unbewachsene Flächen, Ortschaft, Gewässer
- Vegetationsbedeckungs- bzw. Versiegelungsgrad \*\*)
- Bewuchsüppigkeit
- Durchwurzelungstiefe \*\*)
- WurzeldichteVerteilung \*\*)

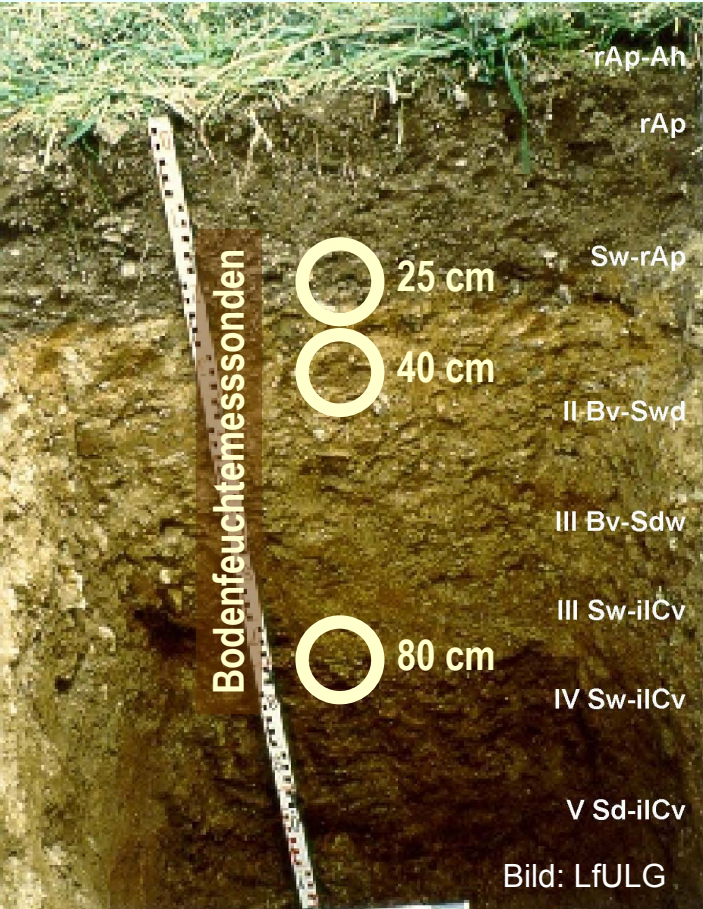
\*) Eingabe nicht zwingend notwendig

\*\*) Es werden Default-Werte angeboten.

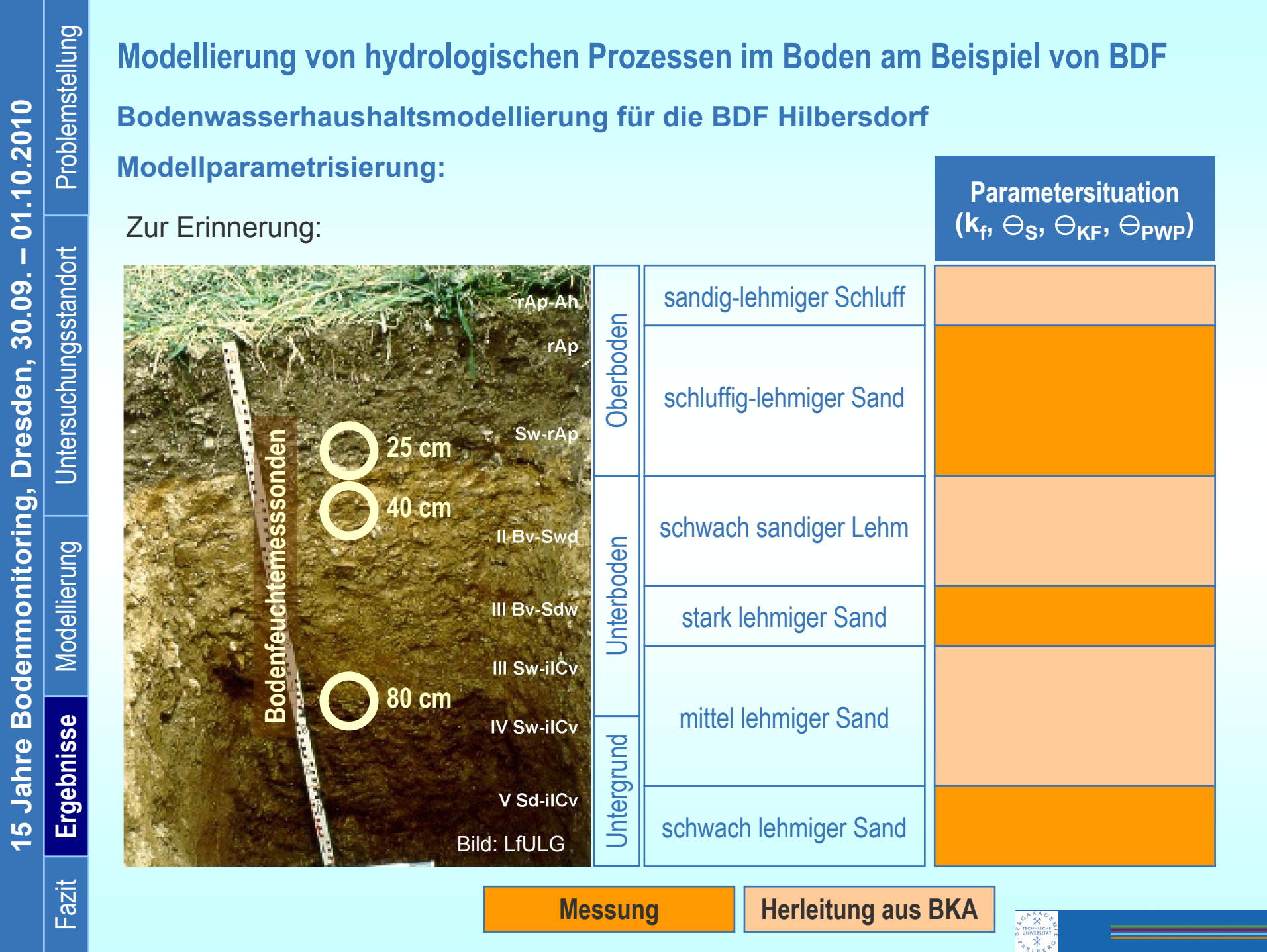
# Modellierung von hydrologischen Prozessen im Boden am Beispiel von BDF

## Bodenwasserhaushaltsmodellierung mittels BOWAM – Modellausgaben



				Problemstellung
Fazit	Ergebnisse	Modellierung	Untersuchungsstandort	
				Modellierung, Dresden, 30.09. – 01.10.2010
				Modellierung von hydrologischen Prozessen im Boden am Beispiel von BDF
				Bodenwasserhaushaltsmodellierung für die BDF Hilbersdorf
				Modellparametrisierung:
			Zur Erinnerung:	
			 <p>The diagram shows a soil profile with various horizons labeled from top to bottom: rAp-Ah, rAp, Sw-rAp, II Bv-Swd, III Bv-Sdw, III Sw-ilCv, IV Sw-ilCv, and V Sd-ilCv. Three circular soil moisture sensors are indicated at depths of 25 cm, 40 cm, and 80 cm. A vertical scale bar is also shown.</p> <p>Bild: LfULG</p>	
				Parametersituation ( $k_f$ , $\Theta_S$ , $\Theta_{KF}$ , $\Theta_{PWP}$ )
				Humusgehalt

Oberboden	sandig-lehmiger Schluff	aus periglazialem Lösslehm / Gneis	Humusgehalt
Unterboden	schluffig-lehmiger Sand		
Untergrund	schwach sandiger Lehm		
	stark lehmiger Sand		
	mittel lehmiger Sand		
	schwach lehmiger Sand		



# Modellierung von hydrologischen Prozessen im Boden am Beispiel von BDF

## Bodenwasserhaushaltsmodellierung für die BDF Hilbersdorf

### Modellparametrisierung:

Meteorologische Daten:



BEACHTE: 20 Datenlücken (1 Tag ... > 2 Monate)

Auffüllung mit Werten anderer Stationen:

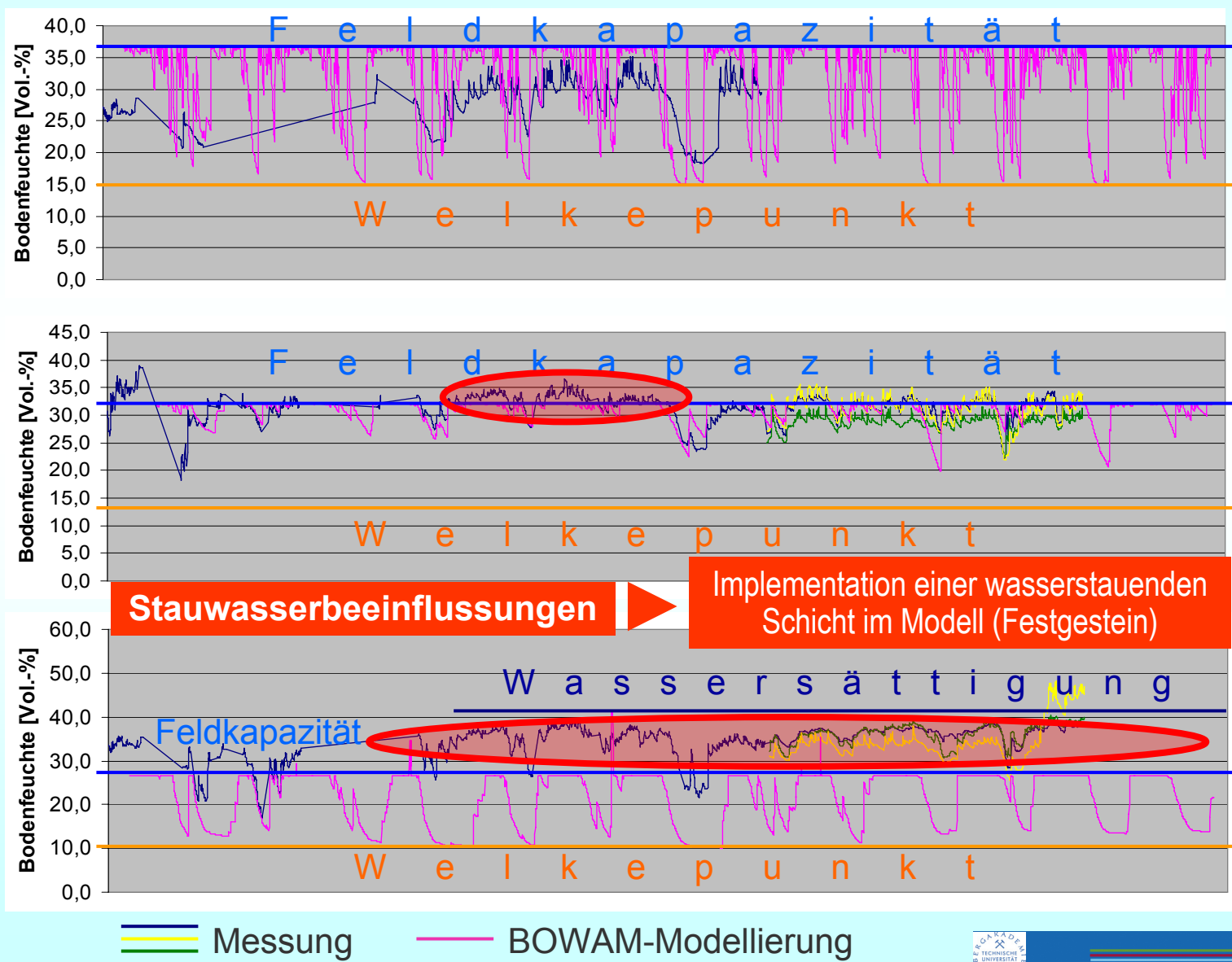
- Freiberg, Reiche Zeche
- Freiberg, LfULG Messcontainer
- Grillenburg, TU Dresden
- Dresden-Klotzsche, DWD-Station

Beispiele:

15.06.02 – 16.06.02	Globalstrahlung	Dresden-Klotzsche
17.06.02 – 19.06.02	Temperatur, Luftfeuchte, Globalstrahlung, Niederschlag	Grillenburg
25.06.02 – 04.07.02	Temperatur, Luftfeuchte, Globalstrahlung, Niederschlag	Grillenburg
01.10.02 – 09.10.02	Temperatur, Luftfeuchte, Globalstrahlung, Niederschlag	Grillenburg
13.11.02 – 18.01.03	Globalstrahlung	Grillenburg
06.06.03 – 26.06.03	Temperatur, Luftfeuchte	Freiberg, Messcontainer
06.06.03 – 26.06.03	Globalstrahlung, Niederschlag	Grillenburg
17.06.04 – 30.06.04	Temperatur, Luftfeuchte, Globalstrahlung, Niederschlag	Freiberg, Reiche Zeche

# Modellierung von hydrologischen Prozessen im Boden am Beispiel von BDF

Bodenwasserhaushaltsmodellierung für die BDF Hilbersdorf – Ergebnisse:



# Modellierung von hydrologischen Prozessen im Boden am Beispiel von BDF

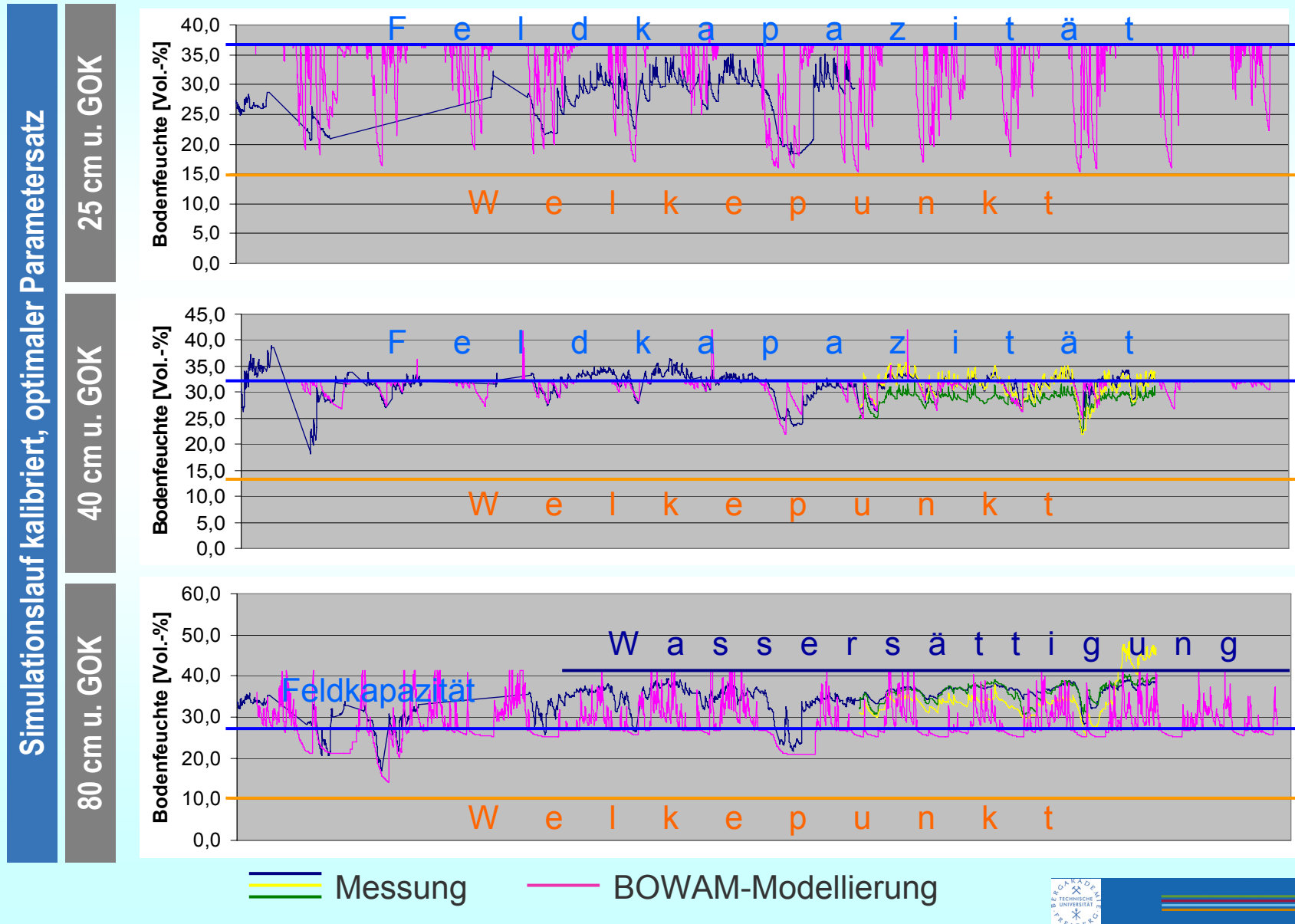
## Bodenwasserhaushaltsmodellierung für die BDF Hilbersdorf – Ergebnisse:

### Simulationslauf kalibriert, optimaler Parametersatz

- Implementierung einer wasserstauenden Schicht an der Basis des Systems mit einem  $k_f$ -Wert von  $1 * 10^{-9}$  m/s
- Bewuchsüppigkeit: spärlich
- Anfangsbodenfeuchte: entsprechend den in den 3 Bodenhorizonten gemessenen Bodenfeuchtwerten
- Bestandskoeffizient und maximale Wurzeltiefen: zeitvariabel in Abhängigkeit von den gemessenen Bodenfeuchteverläufen
- Bewuchsbedeckungsgrad: BOWAM-Defaultwert

# Modellierung von hydrologischen Prozessen im Boden am Beispiel von BDF

Bodenwasserhaushaltsmodellierung für die BDF Hilbersdorf – Ergebnisse:



# Modellierung von hydrologischen Prozessen im Boden am Beispiel von BDF

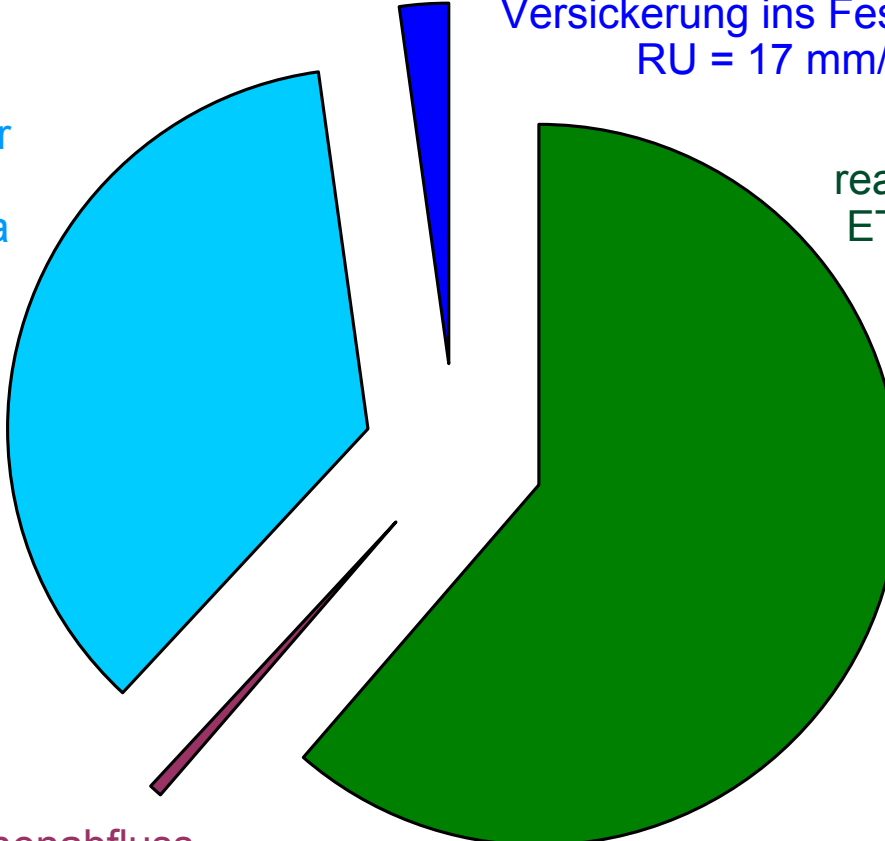
Bodenwasserhaushaltsmodellierung für die BDF Hilbersdorf – Ergebnisse:

## Wasserbilanz (1997 – 2009)

hypodermischer  
Abfluss  
 $RH = 265 \text{ mm/a}$

Versickerung ins Festgestein  
 $RU = 17 \text{ mm/a}$

reale Verdunstung  
 $ETR = 454 \text{ mm/a}$



Oberflächenabfluss  
 $RO = 5 \text{ mm/a}$

(alle Werte als mittlere Jahressummen)

# Modellierung von hydrologischen Prozessen im Boden am Beispiel von BDF

## Bodenwasserhaushaltsmodellierung für die BDF Hilbersdorf – Ergebnisse:

### Wasserbilanz (1997 – 2009)

hypodermischer  
Abfluss  
 $RH = 265 \text{ mm/a}$

Versickerung ins Festgestein  
 $RU = 17 \text{ mm/a}$

reale Verdunstung  
 $ETR = 454 \text{ mm/a}$

### Unsicherheiten bezüglich der Wasserbilanz:

- tendenziell kleinere Niederschläge der Station Hilbersdorf gegenüber anderen DWD-Stationen im Zeitraum 1997 – 2009
- Wasserdurchlässigkeit des Festgestein → Beeinflussung des Aufsplittungsverhältnisses  $RH / RU$

Oberflächenabfluss  
 $RO = 5 \text{ mm/a}$

(alle Werte als mittlere Jahressummen)

# Modellierung von hydrologischen Prozessen im Boden am Beispiel von BDF

## Schlussfolgerungen:

Die Bodenfeuchtemessungen der BDF sind zur prinzipiell Kalibrierung von Modellen geeignet.

Die Anwendung des Bodenwasserhaushaltsmodells BOWAM brachte folgende Ergebnisse:

- Sowohl der jahreszeitliche Verlauf der Bodenfeuchte als auch die minimal gemessenen Bodenfeuchtewerte werden modellseitig gut erfasst.
- Bezuglich der Nachbildung der stauwasserbedingten hohen Bodenfeuchtewerte stößt das Modell BOWAM hingegen an seine Grenzen.
- Die modellierte Wasserbilanz für den Zeitraum 1997 – 2009 erscheint plausibel.

### Kontakt:

Volkmar Dünge  
TU Bergakademie Freiberg  
Institut für Geologie  
Gustav-Zeuner-Straße 12  
D-09596 Freiberg

Tel.: 00 49 (0) 37 31 / 39 32 27  
E-Mail: [dungerv@geo.tu-freiberg.de](mailto:dungerv@geo.tu-freiberg.de)  
[www.geo.tu-freiberg.de/~dungerv/software/](http://www.geo.tu-freiberg.de/~dungerv/software/)